

## III - 39 快速圧密試験法における一次圧密比について

復興大学工学部 正員 ○ 小田英一

同 正員 横瀬広司

K.K. 不動建設 大塚研一

快速圧密試験法は Hsua Lohsu により提案され、従来の方法のように長時間の試験期間を要するところなく、短時間に試験が完了するので、急を要する場合に都合がよいが、精度はかかる。この精度を大きく支配する原因の一つとして、試験結果を用いて圧密試験の諸係数を計算する際に、一次圧密比  $Y$  の値をどの位にとるかということである。Terzaghi は一次圧密、二次圧密と分離して考えてつるが、この両者は不可分の現象であり、分けて考えるより二次圧密も一次圧密の % に加えて考慮するのを望ましい。過去の試験結果から推定して一次圧密比  $Y$  は平均 0.67 位であり、圧密完了時の % は一次圧密の沈下を 100% として  $\frac{100}{0.67} = 150\%$  にとてほとんど実用に支障ないといわれてきた。

レムレクスよりサ中津之介氏も指摘しておられるように、従来の試験機による圧密時間曲線において、二次圧密のようにみえる部分はリングのフリクションによるクリープ現象であるといつわれてつる。故にこの計算に用ひる一次圧密比は土の種類、性質によって異なるもので単に統計的平均値の 0.67 をとるわけにはいかない。この一次圧密比  $Y$  と土の物理的諸性質および力学的強度との関係についてわかったことについて報告する。

実験に使用した圧密試験機は固定環式のものであり、土試料は復興堤の吉野川下流の沖積層中の上部粘土層中の土で、不搅乱土採取法によって得た土である。土の粒度分析の結果は大部分はシルト質ローム、シルト質粘土ロームであり、砂質ローム、粘土は少量である。図-1 に示すように一次圧密比  $Y$  は圧密荷重  $P$  の増加に従って増加する場合と減少する場合とある。

$$Y = a \log p + b \quad \dots \dots \dots (1)$$

この関係が成立すると仮定する。  $a$ ,  $b$  は係数である。また他方  $Y$  の平均値と含砂率(%)との間に図-2 に示す関係がある故に、  $b$  の値は土の粒度分布に大いに関係があると考えられる。 Krumbein の提案した粒度の Phi scale による平均粒径  $M_p$  と  $Y$  の平均値との間に図-3 に示す直線関係が成立するから、  $b$  の値と  $M_p$  とともに直線関係が成立すると考えられ、これを図示したもののが図-4 である。つぎに  $a$  は土の力学的性質と関係づけられると考えられるので  $a$  と土の単軸圧縮強度  $q_u$  との関係をみると図-5 に示すようになる。 $q_u$  が大なるときは  $a$  は負の符号となり、  $q_u$  が小なるときは  $a$  は正の符号となることなどがわかつた。この関係を利用して一次圧密比を圧密荷重  $P$  とに求めて急速圧密試験法における諸係数を求め計算法によつて間隔比  $C$  と  $\log p$  との関係を求めたものと、普通圧密試験法による  $C - \log p$  を求めたものを図-6 に示して比較した。急速圧密試験に使用した土と普通圧密試験に使用した土とは同じ不搅乱試料採取器で採ったものであるが、幾分初期間隔比の異なることと、試験を行つたときの温度の異なること等も他の原因によつて図-6 に示すような差が生じたものと考えられる。以上のことより(1)式によつて固定環式圧密試験機によつた実験において一次圧密比を推定すれば精度がよくなると思われる。

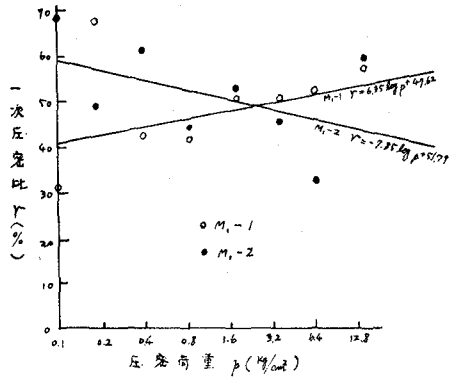


图 - 1

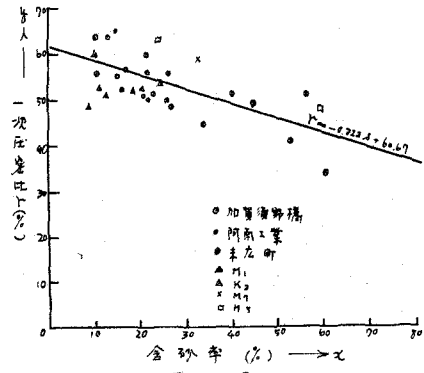


图 - 2

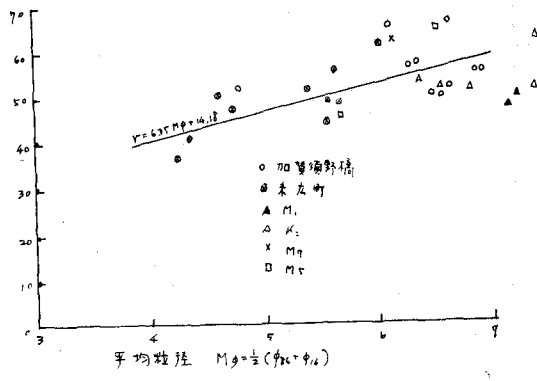


图 - 3

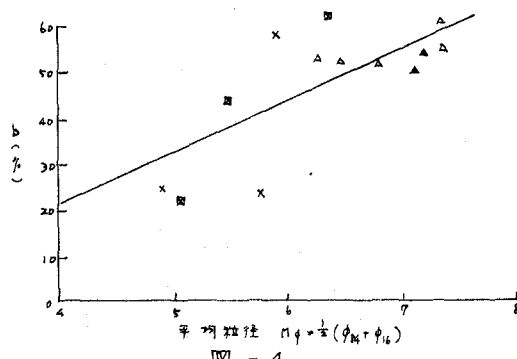


图 - 4

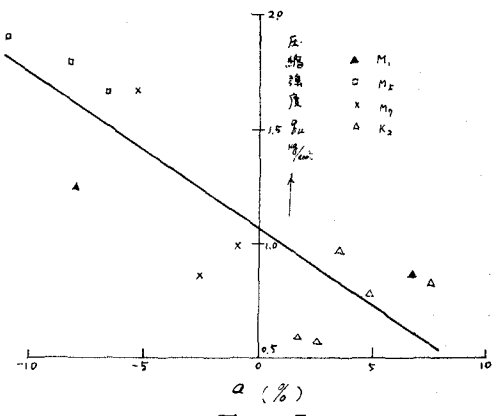


图 - 5

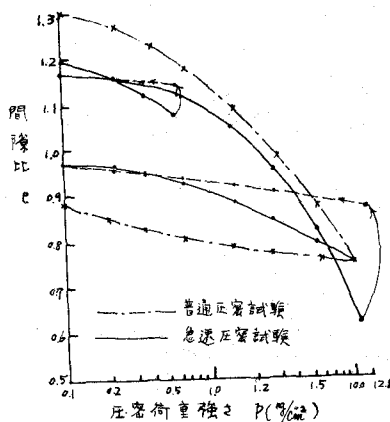


图 - 6